

DD 241 S, DD 242 S

Elektrische Eigenschaften**Electrical properties****Höchstzulässige Werte****Maximum rated values**

Periodische Spitzensperrspannung	repetitive peak reverse voltage	$t_{vj} = -40^{\circ}\text{C} \dots t_{vj\ max}$	V_{RRM}	DD 241 S:	1000	V
					1200	V
					1400	V
Stoßspitzenspannung	non repetitive peak reverse voltage	$t_{vj} = +25^{\circ}\text{C} \dots t_{vj\ max}$	$V_{RSM} = V_{RRM}$	DD 242 S:	400	V
					600	V
Durchlaßstrom-Grenzeffektivwert	RMS forward current		I_{FRMSM}		800	V
Dauergrenzstrom	average forward current	$t_c = 100^{\circ}\text{C}$ $t_c = 94^{\circ}\text{C}$	I_{FAM}		1000	V
Stoßstrom-Grenzwert	surge current	$t_{vj} \leq 25^{\circ}\text{C}, t_p = 10 \text{ ms}$ $t_{vj} = t_{vj\ max}, t_p = 10 \text{ ms}$	I_{FSM}		+ 50	V
Grenzlastintegral	/i ² dt-value	$t_{vj} \leq 25^{\circ}\text{C}, t_p = 10 \text{ ms}$ $t_{vj} = t_{vj\ max}, t_p = 10 \text{ ms}$	$\int i^2 dt$		410	A
					240	A
					261	A
					9300	A
					7500	A
					432000	A ² s
					281000	A ² s

Charakteristische Werte**Characteristic values**

Durchlaßspannung	forward voltage	$t_{vj} = t_{vj\ max}, i_F = 800 \text{ A}$	V_F	max.	1,55	V
Schleusenspannung	threshold voltage		$V_{(TO)}$		1,1	V
Ersatzwiderstand	slope resistance		r_T		0,5	mΩ
Sperrstrom	reverse current	$t_{vj} = t_{vj\ max}, V_R = V_{RRM}$	i_R	max.	200	mA
Rückstromspitze	peak reverse recovery current	$t_{vj} = t_{vj\ max}, i_{FM} = 250 \text{ A}, -di_F/dt = 100 \text{ A}/\mu\text{s}$	$DD 241 \text{ S: } I_{RM}$ $DD 242 \text{ S: } I_{RM}$	max.	135	A
Sperrverzugsladung	recovered charge	$t_{vj} = t_{vj\ max}, i_{FM} = 250 \text{ A}, -di_F/dt = 100 \text{ A}/\mu\text{s}$	$DD 241 \text{ S: } Q_r$ $DD 242 \text{ S: } Q_r$	max.	98	A
Isolations-Prüfspannung	insulation test voltage	RMS, f = 50 Hz, t = 1 min	V_{ISOL}	max.	250	μAs
				max.	120	μAs

Thermische Eigenschaften**Thermal properties**

Innerer Wärmewiderstand	thermal resistance, junction to case	$\Theta = 180^{\circ}\text{el}$, sinus: pro Modul/per module DC: pro Zweig/per arm pro Modul/per module pro Zweig/per arm	R_{thJC}	max.	0,075°C/W
Übergangs-Wärmewiderstand	thermal resistance, case to heatsink	pro Modul/per module pro Zweig/per arm	R_{thCK}	max.	0,02 °C/W
Höchstzul. Sperrsichttemperatur	max. junction temperature			$t_{vj\ max}$	150°C
Betriebstemperatur	operating temperature			t_{cop}	-40°C...+150°C
Lagertemperatur	storage temperature			t_{stg}	-40°C...+150°C

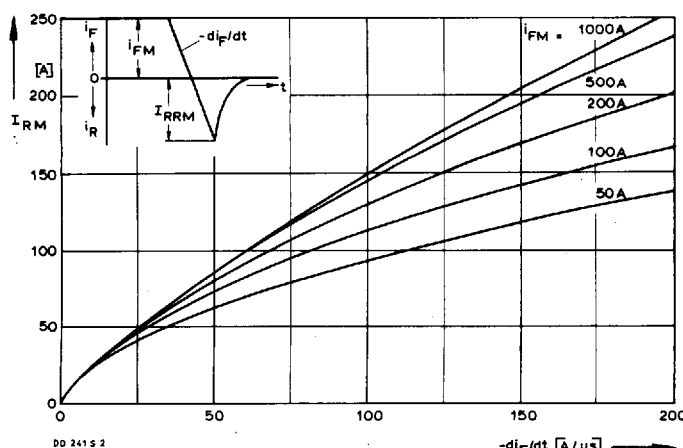
Mechanische Eigenschaften**Mechanical properties**

Si-Elemente mit Druckkontakt	Si-pellets with pressure contact				
Innere Isolation	internal insulation				AlN
Anzugsdrehmomente	tightening torques				
mechanische Befestigung	mounting torque	Toleranz/tolerance ± 15%	$M1$		6 Nm
elektrische Anschlüsse	terminal connection torque	Toleranz/tolerance + 5%/-10%	$M2$		12 Nm
Gewicht	weight		G	typ.	800 g
Kriechstrecke	creepage distance				17 mm
Schwingfestigkeit	vibration resistance	f = 50 Hz			5 · 9,81 m/s ²
Maßbild	outline				8

DD 241 S, DD 242 S können auch mit gemeinsamer Anode oder gemeinsamer Kathode geliefert werden.
 DD 241 S, DD 242 S can also supplied with common anode or common cathode.

Recognized by UNDERWRITERS LABORATORIES INC.

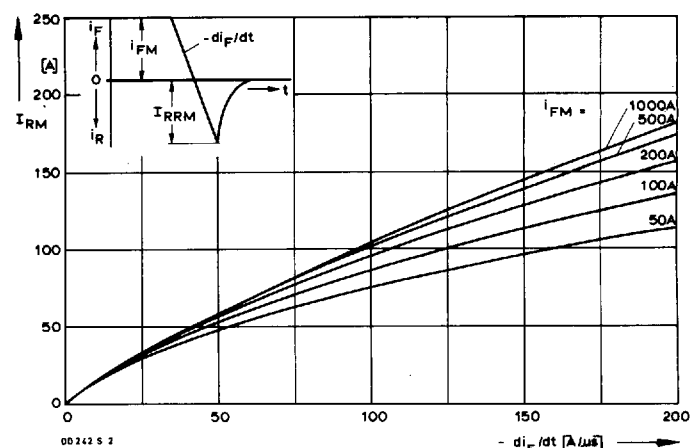
DD 241 S, DD 242 S



Bild/Fig. 1 DD 241 S

Typische Abhängigkeit der oberen Rückstromspitze von der abkommunizierenden Stromsteilheit $-di_F/dt$ bei $t_{vj \max}$.

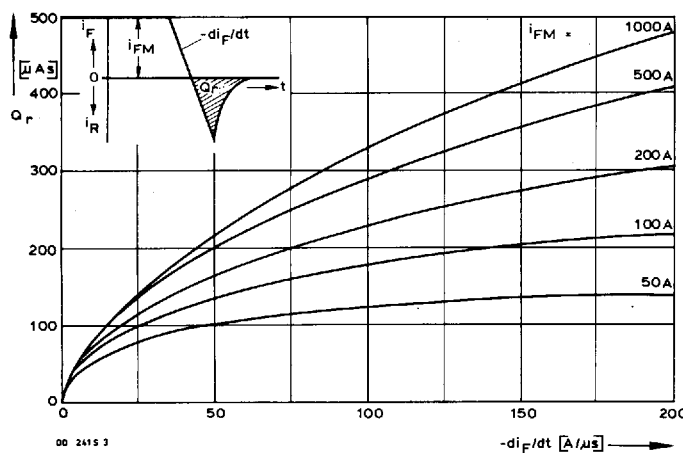
Typical relationship between the maximum peak reverse recovery current and the rate of decay of forward current $-di_F/dt$ at $t_{vj \max}$.



Bild/Fig. 2 DD 242 S

Typische Abhängigkeit der oberen Rückstromspitze von der abkommunizierenden Stromsteilheit $-di_F/dt$ bei $t_{vj \max}$.

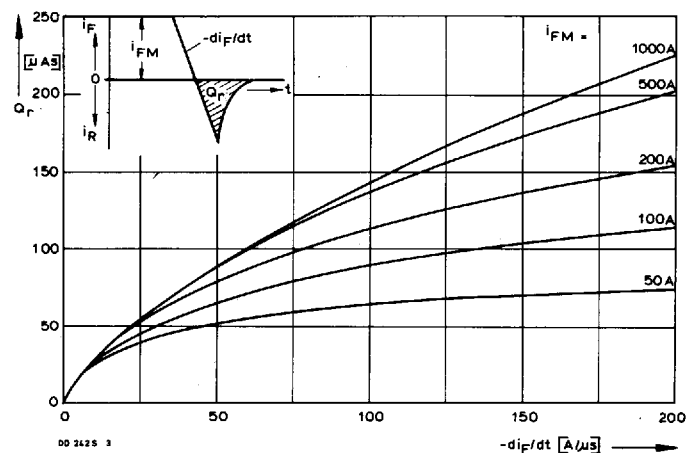
Typical relationship between the maximum peak reverse recovery current and the rate of decay of forward current $-di_F/dt$ at $t_{vj \max}$.



Bild/Fig. 3 DD 241 S

Typische Abhängigkeit der oberen Sperrverzugsladung Q_r von der abkommunizierenden Stromsteilheit $-di_F/dt$ bei $t_{vj \max}$.

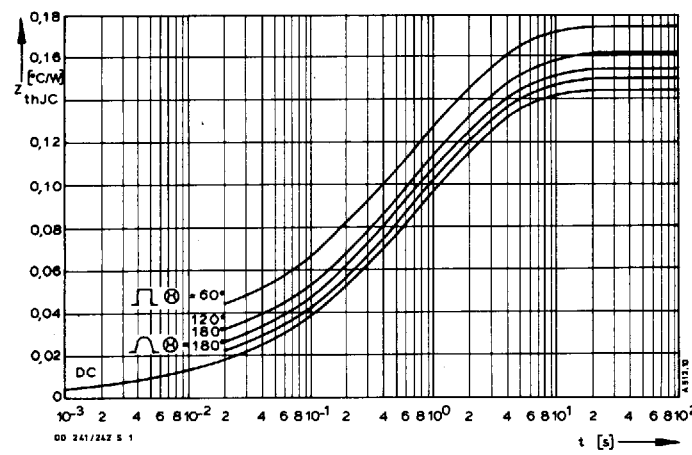
Typical relationship between the maximum recovered charge Q_r and the rate of decay of forward current $-di_F/dt$ at $t_{vj \max}$.



Bild/Fig. 4 DD 242 S

Typische Abhängigkeit der oberen Sperrverzugsladung Q_r von der abkommunizierenden Stromsteilheit $-di_F/dt$ bei $t_{vj \max}$.

Typical relationship between the maximum recovered charge Q_r and the rate of decay of forward current $-di_F/dt$ at $t_{vj \max}$.



Bild/Fig. 5 DD 241 S, DD 242 S

Transienter innerer Wärmewiderstand Z_{thJC} je Zweig bei sinus- und trapezförmigem Stromverlauf.

Transient thermal impedance Z_{thJC} , junction to case per arm at sinusoidal and trapezoidal current waveform.

Pos. n	1	2	3	4	5
R_{thn} [°C/W]	0,0031	0,0097	0,0257	0,0529	0,0526
τ_n [s]	0,0009	0,008	0,11	0,61	3,06

$$Z_{thJC} = \sum_{n=1}^{n_{\max}} R_{thn} (1 - e^{-t/\tau_n})$$

Transienter Wärmewiderstand Z_{thJC} pro Zweig für DC.
Transient thermal impedance Z_{thJC} per arm for DC.